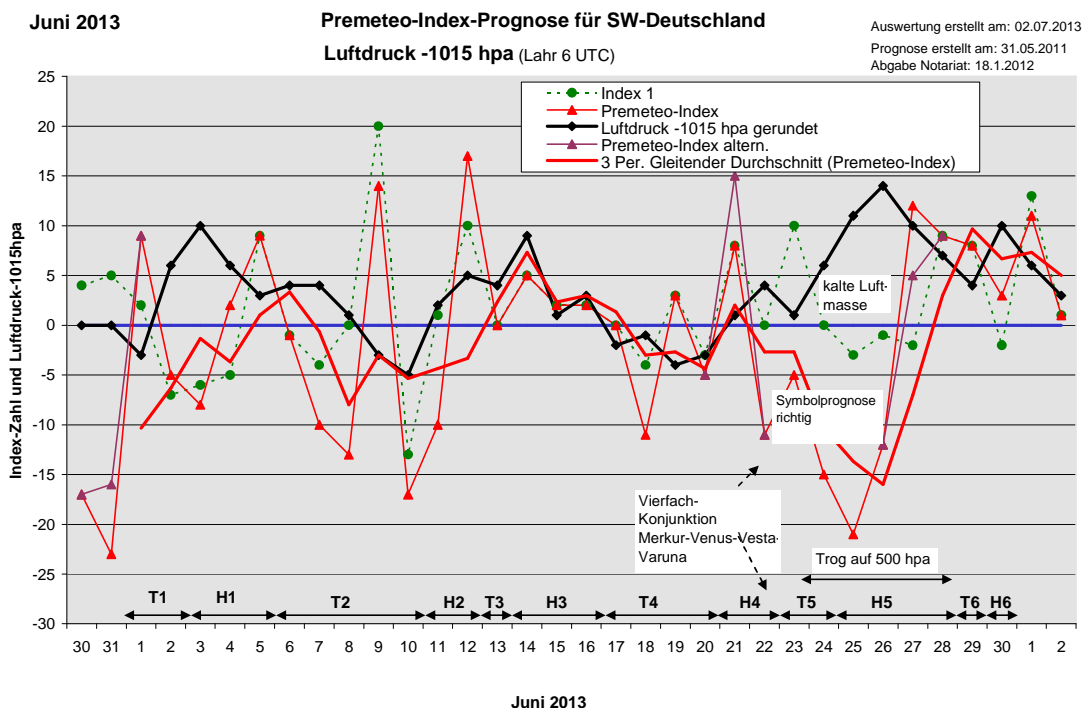


Wetterlagenverlauf Juni 2013 im Vergleich zur Premeteo-Indexprognose für Südwest-Deutschland

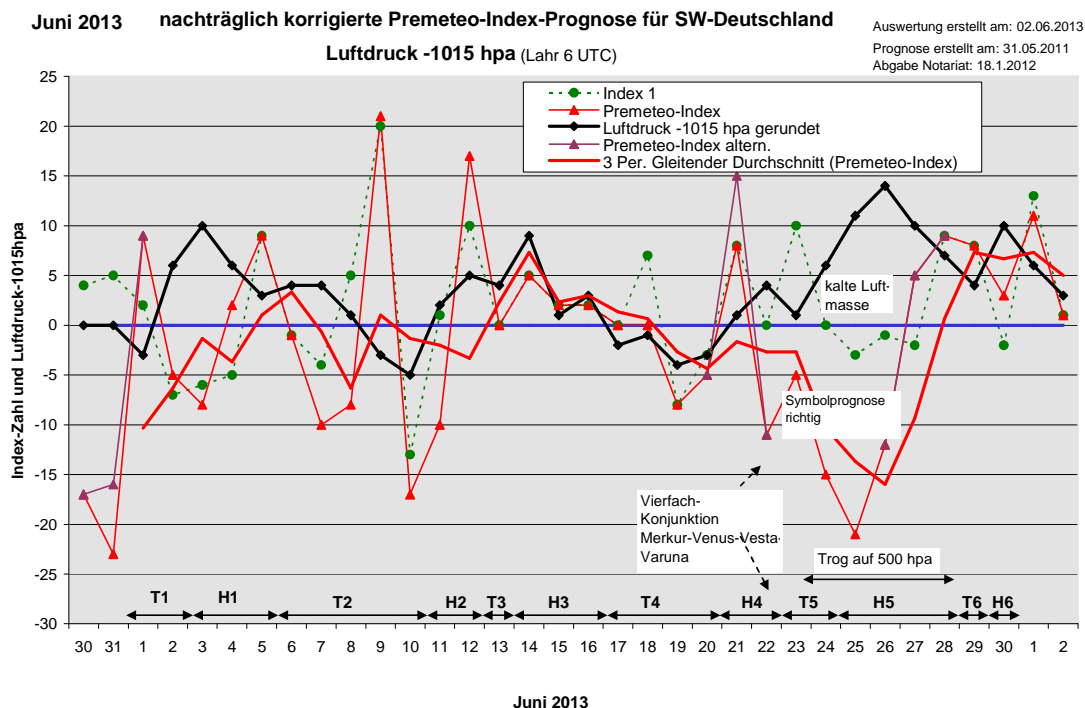
(Im Diagramm sind über der Datumsachse die real eingetreten Hoch- und Tiefdruckphasen durch Doppelpfeile eingetragen. Ausschlaggebend für die Evaluation ist der tägliche Premeteo-Index, in der dünneren, roten Linie mit Dreieckspunkten dargestellt. Ein negativer Premeteo-Index zeigt die Wahrscheinlichkeit für eine zyklonale Tiefdruckströmung, ein positiver Premeteo-Index die Wahrscheinlichkeit für eine antizyklonale Hochdruckströmung an.

Die Wetterlagenbeschreibungen wurden anhand der Berliner Wetterkarten erstellt. Ausschlaggebend ist die Europa-Bodenkarte um 0 UTC, die feiner skalierte 12 UTC-Karte von Mitteleuropa wird nur bei einem Wetterlagenwechsel für die Einordnung des Tages hinzugezogen.)



Zusammenfassung: Die Premeteo-Index-Prognose zum Juni 2013 war zufriedenstellend. Im Auswertungsdiagramm ist sehr schön zu sehen, wie der Verlauf des Luftdrucks mit dem gleitenden Durchschnitt des Premeteo-Index korrespondiert, dass es aber ab dem 23. zu einem spiegelbildlichen Verlauf des Luftdrucks gegenüber dem Premeteo-Index kommt. An der Rückseite von Tief Othello war kalte, polarmaritime Luft nach Süden vorgestoßen, die in die absinkenden Luftmassen des Azorenhochs in der Bodenschicht übergingen. In der Höhe blieb entsprechend dem Premeteo-Index die zyklonale Strömung über unserer Region erhalten und auch das Wetter war in diesem Zeitraum wechselhaft und entsprach weitgehend der Premeteo Symbolprognose mit Ausnahme des 27. Juni.

Da bei der Auswertung drei handwerkliche Fehler in der Umsetzung der Prognoseregeln erkannt wurden, wurde noch ein nachträglich korrigiertes Diagramm für den Premeteo-Index erstellt. Bei den am Schluss angehängten Tabellen sind die korrigierten Werte rot unterlegt.



Tiefdruckphase 1: Zu Monatsbeginn bestimmten Tief Frederik über Alpen und Tief Günter über Ostdeutschland die Strömung, brachten noch sehr viel Niederschlag und verschlimmerten weiter die Hochwassersituation im Osten und Süden Deutschlands. Der Premeteo-Index summiert auf +4.

Hochdruckphase 1: Am 3. blieb es noch geschlossen bewölkt, aber die Strömung wurde schon von Hoch Sabine über Großbritannien bestimmt. Auch am 5. prägte dieses Hoch die Strömung, doch hatte sich sein Kern nach N-Skandinavien verlagert und es erreichte unseren Raum über das Nordmeer und Großbritannien, während sich über S-Skandinavien Tief Hermann eingestellt hatte. Eine etwas merkwürdige Anordnung der Strömungen! Der Premeteo-Index summierte auf +3.

Tiefdruckphase 2: Am 6. verlor Hoch Sabine in der Bodenschicht seinen Einfluss, zeigte sich aber noch in den Strukturen der Höhenwetterkarte. Am Boden setzte gemäß dem Premeteo-Index eine flache zyklonale Strömung durch Tief Ira über Spanien und durch Tief Hermann über der Nordsee ein. Dabei war es überwiegend sonnig. Auf 500hpa war ein flacher antizyklonaler Keil über Mitteleuropa vorhanden, der besonders am 8. bei flacher zyklonaler Strömung am Boden aber bei verhältnismäßig tiefem Premeteo-Index einen sonnigen Sommertag bescherte, allerdings bei stetig fallendem Druck. Diese unterschiedliche Schichtung der Atmosphäre zeigte, dass die im Index 1 vorhandenen drei H*-Aspekte mit Pallas und Ceres in der Höhenströmung präsent waren, sich witterungsmäßig auch durchsetzten, aber in der Bodenschicht bestimmten die höherrangigen Symmetrien und die Konjunktion von Mars mit Sedna und deren Auslösung Var 60 Sed T* die Strömung. Allerdings blieben beide Strömungen flach. Tief Ira bestimmte noch bis zum 10. Juni die Wetterlage. Der Premeteo-Index summierte auf -19.

Hochdruckphase 2: Hoch Therese bewegte sich vom Nordmeer über die Beneluxstaaten nach Deutschland und brachte am 11. und 12. eine antizyklonale Lage. Der Premeteo-Index summierte auf +7.

Tiefdruckphase 3: Am 13. sorgte Tief Jörg für eine starke Erwärmung und Gewitterbildung am Abend. Der Premeteo-Index hatte 0 Punkte.

Hochdruckphase 3: Am 14. bewegte sich Hoch Utah von der Biskaya nach Deutschland bei einem Premeteo-Index von +5 mit teils lockerer, teils dichter Bewölkung. Sie bestimmte auch am 15. die Strömung, während am 16. Hoch Velvet diese Aufgabe übernahm und dann Richtung Norden abwanderte. Der Premeteo-Index summierte auf +9.

Tiefdruckphase 4: Am 17. stellten Tief Lars über dem Ostatlantik und Tief Manni über der Biskaya die Strömung flach auf zyklonal um. Auf 500 hpa dagegen hatte sich ein Hochdruckkeil über der Region ausgebildet. Zwischen Tief Manni, das sich nach Frankreich hineinbewegte, und Hoch Uta über dem Balkan entstand eine starke Südströmung, die bei Sonnenschein mit nur geringer Bewölkung eine große Hitze bewirkte. Die Mittagkarte zeigt über SW-D eindeutig eine zyklonale Bodenströmung an. Der Premeteo-Index lag am 18. bei -11 wegen Var 180 Qua Tf* -11, das aber erst am Nachmittag um 14:22 UTC exakt wurde und auf den 19. hätte angerechnet werden müssen. Dann hätte der Premeteo-Index am 18. Juni 0 Punkte und am folgenden Tag -8 Punkte betragen, und hätte den Wetterverlauf stimmiger dargestellt. Der Hf-Aspekt Mer 72° GSZ am Abend des 17. und Son 90 Mak H am 18. gingen einher mit der Zurückhaltung von Tief Manni über Frankreich und waren in der Höhenströmung präsent. Tief Manni bestimmte bis zum 19. die Bodenströmung bei zeitgleich auftretendem Höhenkeil, und die Atmosphäre heizte sich durch die geringe Bewölkung ganz enorm auf. Der Umschwung in der Höhenkarte zur zyklonalen Strömung vollzieht sich am 20., es kam zu Niederschlag und am Abend zum stürmischen Durchzug der Kaltfront von Tief Norbert mit kräftigen Unwettern. Der Premeteo-Index summierte auf -13.

Hochdruckphase 4: Während in der Höhe die zyklonale Strömung nun erhalten blieb, setzte sich am 21. und 22. das Azorenhoch vorübergehend durch. Der 22. Juni mit -11 Punkten beim Premeteo-Index und der Vierfach-Konjunktion von Merkur, Venus, Vesta und Varuna war damit ein sonniger Fehlprognosestag! Das Tief Othello zog erst in der Nacht zum 23. auf. Der Premeteo-Index summierte auf -3.

Tiefdruckphase 5: Am 23. und 24. bestimmte Tief Othello das Wetter über Deutschland. Dabei ging durch den Wechsel zu den kalten Luftmassen des Nordens trotz der Zyklonalität der Strömung der Luftdruck nach oben. Auf 500 hpa befand sich die südwestdeutsche Region auf der Zentralachse der Tiefdruckströmung. Der Premeteo-Index summierte auf -20.

Hochdruckphase 5: Am 25. kletterte der Luftdruck aufgrund der kalten, maritim-polaren, absinkenden Luftmassen weiter nach oben, und auf dem Bild der Bodenkarte gliederte sich die südwestdeutsche Region in das Azorenhoch ein, in dem über dem O-Atlantik eine Störung eingelagert war. Der Premeteo-Index hatte

-21 Punkte und auf 500 hpa lag die Region in einer zyklonalen Nordwestströmung. Die überwiegend grau verdichtete Bewölkung mit Schauern stimmte mit dem prognostizierten Regenwettersymbol ein. Auch am 26. blieb diese Wetterlage erhalten, doch zog Tief Petar über N-Polen in den skandinavischen Raum. Am 27. erhielt das Hoch über dem Ostatlantik den Namen Walburga und bestimmte weiterhin die Bodenschicht. Auf 500 hpa blieb die zyklonale Strömung jedoch erhalten, es gab täglich Niederschlag, und über diese gesamte Hochdruckphase summierte der Premeteo-Index nur auf -2, was den Gesamteindruck bestätigte.

Tiefdruckphase 6: Am 29. verlagerte sich Tief Petar etwas nach Süden und erfasste mit seiner zyklonalen Strömung auch den südwestdeutschen Raum. Es kam lokal zu heftigen Regenschauern. Der Premeteo-Index lag bei +8, durch die beiden H*- Aspekte GSZ 90 Apo +13, Cer 144 GaZ +10, die begleitet wurden von dem lokal starken Tf-Aspekt Mar 135 Sat -10 und Ves 150 GSZ -15. Es zeigte sich, dass sich in der Bodenschicht der Mars-Saturn-Aspekt mit dem starken Lokalbezug durchsetzte, während sich in der Höhenkarte schon eine leicht antizyklonale Krümmung der Isohypsen zeigte.

Hochdruckphase 6: Am 30. dehnte sich Hoch Walburga bereits wieder nach Deutschland aus. Der Premeteo-Index hatte +3 Punkte.

SW-D befand sich an 15 Tagen im Einflussbereich antizyklonaler Strömung. Die Summe des prognostizierten Premeteo-Index für diese Tage ergibt +15, was einer Indexzahl von 1,0 pro Tag entspricht.

An 15 Tagen befand sich SW-D im Einflussbereich zyklonaler Strömung. Die Summe des prognostizierten Premeteo-Index für diese Tage ergibt -40, was einer Indexzahl pro Tag von -2,67 entspricht.

Die Prognose durch die Premeteo-Wettersymbole war an 4 Tagen falsch (am 7., 8., 18., 27.), an 12 Tagen richtig und an 14 Tagen tendenziell richtig.

02.07.2013

Juni 2013



Prognose für SW-Deutschland

Am 22. Vierfachkonjunktion Merkur-Venus-Vesta-Varuna!

01.06.2013

Langsamläufer-Impulse			T*		H*			3H*	T*		
Schnellläufer-Impulse	H	2T	2T	H		T, H	3T, Tf	H	H, 2Hf		
Temperaturimpulse		K, W		W	K		W, K				
Premeteo-Index - zyklonal, + antizyklonal (Index 1+2+3)	9	-5	-8	2	9	-1	-10	-13	14	-17	
Pre.IX (ALTERNATIV)											
Index 1 (12 - 12 UTC) exakte Aspekte des Tages	2	-7	-6	-5	9	-1	-4	0	20	-13	
Index 1(ALTERNATIV)											
Symmetrien (0 - 0 UTC)	Hau 145 Chi Sed (00) A* H*(7/1) H*(7/2)+7 Ven 4 Jup Mer (19) H W A W +7?	Mak 89 Ven GaZ (01) H T* A -7? Mer 7op Plu GaZ (20) A K T -7?	Sed 31 Jup Eri (00) T* H*(3/0) H*? Nep 120 Sat Mer (13) H A W A (+7) Mer 120 Sat Nep (22) A A W H* (+7)	Sat 120 Nep Mer (07) H* A A W +7	Ven 8op Plu Qua (09) H T -7?	Qua 9op Son Ven (03) A T -7? Ven 7op Plu GaZ (07) H A +7? Plu 6op Ven Ves (21) H A* +7? Mak 166 Ura Chi (22) H* (8/3) ---	Jup 9 Son Ven (01) A W H W +7? Nep 120 Ven Sat (08) T W H* T +7? Ven 120 Sat Nep (14) T T W H* +7? Sat 120 Ven Nep (19) T H* T W -7? Orc 46 Ves Hau (23) A* T* A* -7	Hau 120 Son Jun (03) H A* H* +7? Son 120 Jun Hau (11) Hf H A* (+7) Jun 120 Son Hau (23) Hf A* H(+7) Plu 2op Ven Mer (23) H A K +7	Mer 5 Ven Ves (12) A W H +7?		
Index 2 (12 - 12 UTC)	7	0	0	7	0	0	0	-7	0	7	
Index 2 ALTERNATIV											
ausgelöste LL-Aspekte		Ven 90 Mak H2	Ven 135 Kn1 T-2 (Ven 45 Kn2 T-2)				Pal 90 Nep H5 Var 60 Sed T-11	Pal 90 Nep H5 Var 60 Sed T-11	Pal 90 Nep H5 Var 60 Sed T-11	Var 60 Sed T-11	
Index 3 (Summe)	0	2	-2	0	0	0	-6	-6	-6	-11	
Index 3 ALTERNATIV											
Symbol-Prognose	3	3	3	3	3	3	5	5	3	5	
Symbol-Prognose altern.	3	3	3	3	3	3	5	5	3	5	
Wochentag	Sa	So	Mo	Di	Mi	Do	Fr	Sa	So	Mo	
Datum	1	2	3	4	5	6	7	8	9	10	
reale Wetterlage	T1: 2T - H / +4		H1: H - T*, 2T / +3			T2: T*, Tf, 4T - 3H*, 2Hf, 3H / -19					
Luftdruck (hpa) 06 UTC	1012,4	1020,9	1024,8	1021,4	1017,7	1018,8	1019,2	1016,3	1011,6	1010,4	
mittl. Temp.(°C)	13,4	14,4	11,3	14,9	17,7	18,8	19,3	20,4	18,8	15,8	
Sonnenscheindauer (h)	.	10,4	0,7	14,1	14,8	14,8	14,6	13,9	9,6	.	
Niederschlag (Liter)	20 / 41	.	0,0	3 / 5	.	0,3 / 2,5	
Bodenwetterlage 00 UTC (Kernlage des Druckgebiets, das SW-D beeinflusst)	T ü Alpen	T ü O-D, H ü O-Atl	H ü GB, T ü Ukrai	H ü GB, T ü GB	H ü N-Skand	fl T ü NW-Iber, okkl T ü Nsee	fl T ü NW-Iber- Biskaya, H-Keil ü GB	fl T ü SW-F u. O-Iber	fl T mit Kernen über Bisk und SW-D	okkl T ü Polen, kl T ü Adria	
Bodenströmung 12 UTC zyklonal (z), antizyklonal (a)	a-z	fl z	fl z	fl a	a-z	fl z	z	z	z	z	
Strömung auf 500 hpa 00 UTC	NO z	N a-z	NNO z	NO fl a	fl a	fl a	fl a	fl a	fl z	fl z	
zutreffende Wettersymbole	5 hr	2-3 r	5 hr	2 hr	2 hr	2 hr	2 f	2 f	3 r	5 r	

Übertrag	VEN 90 FY9	SON 60 URA	JUP 180 QUA	MER 120 SAT	MAR 135 EL6	VEN 135 JUN	VEN 72 ERI	NEP 90 PAL	VES 45 ORC	VES 90 EL6
Index 1 = 0	ZWI 27°50'33"	ZWI 11°42'08"	ZWI 24°43'37"	KRE 05°44'07"	ZWI 03°38'25"	KRE 03°45'21"	KRE 04°48'13"	FIS 05°22'28"	ZWI 18°07'29"	KRE 18°35'56"
Index 2 = 0	H +2	WID 11°42'07"	SCH 24°43'37"	SKO 05°44'07"	WAA 18°38'25"	WAS 18°45'20"	WID 22°48'14"	ZWI 05°22'28"	JUN 03°07'29"	WAA 18°35'56"
		A K	A*(10/6)	A	A	A	A	H* +5	A*	A*
	08:41	05:03	09:32	05:27	13:18	06:40	01:36	05:20	06:51	07:48
	SON 150 PLU	SON 144 SAT	MER 72 ERI	SON 90 CHI	CER 90 ERI	MER 45 SED	VEN 30 PAL	MAR 150 SAT	SON 120 EL6	VEN 45 SED
	ZWI 11°01'10"	ZWI 11°49'58"	KRE 04°46'42"	ZWI 13°45'53"	KRE 22°47'37"	KRE 08°47'07"	KRE 04°51'22"	ZWI 05°31'56"	ZWI 18°36'25"	KRE 08°50'05"
	STE 11°01'10"	SKO 05°49'56"	WID 22°46'41"	FIS 13°45'54"	WID 22°47'37"	STI 23°47'08"	ZWI 04°51'22"	SKO 05°31'55"	WAA 18°36'25"	STI 23°50'04"
	A	T-3	A	A W	H* +5	T-1	A	A	H +3	A
	09:54	06:10	11:23	09:46	15:04	18:55	03:16	07:02	14:24	10:50
	MER 30 PAL	MER 60 ORC	VEN 135 KN1	JUN 120 EL6	VEN 60 ORC	VEN 30 MAR	PLU 144 PAL	SAT 150 PAL	SON 120 JUN	MER 120 CHI
	KRE 01°46'25"	KRE 03°04'34"	KRE 00°27'59"	WAS 18°39'05"	KRE 03°05'54"	KRE 04°30'58"	STE 10°53'40"	SKO 05°31'44"	ZWI 18°54'28"	KRE 13°49'05"
	ZWI 01°46'25"	JUN 03°04'36"	SKO 15°27'60"	WAA 18°39'05"	JUN 03°05'52"	ZWI 04°30'58"	ZWI 04°53'39"	ZWI 05°31'44"	WAS 18°54'29"	FIS 13°49'04"
	A	A	T-2	A*	A	H +2	A*	H* +5	Hf +9	A
	17:17	07:03	14:26	18:47	20:55		07:35	11:18	15:16	
	MER 90 GSZ	PAL 120 GSZ	MAR 120 GSZ	MAR 90 ORC	SON 150 KN1		MAR 144 PLU	SON 30 VES	MER 144 JUN	
	KRE 02°15'08"	ZWI 02°15'07"	ZWI 02°15'06"	ZWI 03°05'31"	ZWI 15°20'22"		ZWI 04°53'25"	ZWI 17°49'39"	KRE 12°54'33"	
	WAA 02°15'07"	WAA 02°15'07"	WAA 02°15'07"	JUN 03°05'32"	SKO 15°20'23"		STE 10°53'25"	KRE 17°49'39"	WAS 18°54'33"	
	A	A*	T-4	H +4	A K		T-4	A	Hf +7	
		13:15	18:21	20:32			11:47	18:48	15:48	
	MER 135 JUN	VES 72 FY9	PAL 135 EL6				VEN 120 NEP	MER 90 URA	APO 135 KN1	
	KRE 03°31'22"	KRE 15°50'05"	ZWI 03°38'49"				KRE 05°22'28"	KRE 11°55'10"	KRE 00°08'21"	
	WAS 18°31'21"	JUN 27°50'04"	WAA 18°38'49"				FIS 05°22'28"	WID 11°55'10"	SKO 15°08'21"	
	A	T* -5	A*				T W	H +1	T* -13	
		13:26	19:19	22:27			15:24	22:38	19:52	
	VEN 0 APO	MER 120 NEP	VEN 90 GSZ				VEN 120 SAT	CER 0 VAR	ORC 72 KN1	
	ZWI 29°20'53"	KRE 05°22'16"	KRE 02°15'08"				KRE 05°33'31"	KRE 24°12'48"	JUN 03°07'49"	
	ZWI 29°20'54"	FIS 05°22'16"	WAA 02°15'07"				SKO 05°33'32"	KRE 24°12'48"	SKO 15°07'49"	
	T W -4	A W	A				T-2	H* ---	A*(8/6)	
		22:56	19:51				22:04		20:24	
	VES 120 KN1	PAL 90 ORC					MER 180 PLU		CER 150 QUA	
	KRE 15°29'39"	ZWI 03°05'10"					KRE 10°52'35"		KRE 24°35'43"	
	SKO 15°29'39"	JUN 03°05'10"					STE 10°52'36"		SCH 24°35'43"	
	A*	A*					A K		A*	
							22:59			
							MAR 0 PAL			
							ZWI 05°20'41"			
							ZWI 05°20'41"			
							A			
							23:23			
							CER 60 SED			
							KRE 23°48'23"			
							STI 23°48'22"			
							A*			
							23:59			
							MAR 90 NEP			
							ZWI 05°22'27"			
							FIS 05°22'28"			
							Tf -10			

Juni 2013



Prognose für SW-Deutschland

Am 22. Vierfachkonjunktion Merkur-Venus-Vesta-Varuna!

Langsamläufer-Impulse	H*			H*	H*, T*		H*	Tst*		T*, H*
Schnellläufer-Impulse	T, 2H	T			2H	H	Hf	H	T	2H
Temperaturimpulse	W	K		K	W		K		W	W*
Premeteo-Index - zyklonal, + antizyklonal (Index 1+2+3)	-10	17	0	5	2	2	0	-11	3	-5
Pre.IX (ALTERNATIV)										
Index 1 (12 - 12 UTC) exakte Aspekte des Tages	1	10	0	5	2	2	0	-4	3	-3
Index 1 (ALTERNATIV)										
Symmetrien (0 - 0 UTC)		Mar 46 Var Eri (12) A H A? +7	Pal 46 Var Eri (20) A* A* A? ?	Ves 6 Ven Cer (22) H HP*(4/1/2) +7?	Son 30 Var Sed (01) A A T? (0,5/4) --	Var 3 Ven Cer (14) A* H* +7	Orc 45 Ven Hau (17) A T* A ?	Gaz 68 Nep Hau (18) ? * ...	Var 4 Ven Cer (14) T H* +7? Mak 89 Son Gaz (21) H T? A-??	Mak 89 Jup Gaz (13) A* T? A* -7/0 Ves 1 Var Mer (23) A* H +7
Index 2 (12 - 12 UTC)	0	7	0	0	0	0	0	-7	0	0
Index 2 ALTERNATIV										
ausgelöste LL-Aspekte	Var 60 Sed T-11									Ven 72 GSZ T-2
Index 3 (Summe)	-11	0	0	0	0	0	0	0	0	-2
Index 3 ALTERNATIV										
Symbol-Prognose	5	2	3	3	3	3	3	5	3	3
Wochentag	Di	Mi	Do	Fr	Sa	So	Mo	Di	Mi	Do
Datum	11	12	13	14	15	16	17	18	19	20
reale Wetterlage	H2: H*, 2H - T / +7		T3: -- / 0	H3: 2H*, 3H - T* / +9			T4: T†, T*, T - 2H*, Hf, 3H / -13			
Luftdruck (hpa) 06 UTC	1017,4	1020,4	1019	1023,5	1016	1018,1	1013,2	1014,1	1010,7	1012,4
mittl. Temp.(°C)	17,6	19,5	20,6	16	18,8	20,5	24,7	26,8	26,9	21,6
Sonnenscheindauer (h)	9,5	3,9	12,6	8,8	8,2	14,2	14,4	14,4	12,4	7,8
Niederschlag (Liter)	.	.	9 / 8,5	.	.	.	4 / 1	.	0,0	12 / 13
Bodenwetterlage 00 UTC (Kernlage des Druckgebiets, das SW-D beeinflusst)	H ü Benel	H ü Alpen u NO-D	T ü GB	H ü W-F	H ü O-D	H ü F	T ü Biskaya	T ü W-F, T ü O- iber, H ü Balkan	T ü GB und W-Mm	fl T ü D, fl T ü Biskaya
Bodenströmung 12 UTC zyklonal (z), antizyklonal (a)	a	a	fl z	a	a-z	a	z	z	z	a-z
Strömung auf 500 hpa 00 UTC	a	NW a	SW a	SW fl z	SW a-z	SW a-z	SW fl a	SSW a	S fl a	S a-z
zutreffende Wettersymbole	3 hr	3 hr	2 hr	3 r	3 r	2 hr	2 hr	2 f	2 hr	3 r

02:37	09:14	13:56	03:16	00:36	00:50	11:03	00:09	16:13	00:44
VES 150 JUN KRE 18°57'11" WAS 18°57'11" A*	MER 72 FY9 JUN 27°49'24" T-1	MAR 45 VAR ZWI 09°18'45" KRE 24°18'44" A	VES 72 GSZ KRE 20°15'05" WAA 02°15'05" H* +5	SON 72 URA ZWI 24°05'39" WID 12°05'38" H+3	MER 150 JUN KRE 19°00'16" WAS 19°00'16" A	CER 60 FY9 KRE 27°49'45" JUN 27°49'45" H* ---	SON 180 GaZ ZWI 28°32'04" SCH 26°56'27" A	SON 0 JUP ZWI 28°32'03" A W	MAR 90 CHI ZWI 13°49'42" FIS 13°49'42" A
03:54	11:39	17:16	09:23	03:55	01:24	13:12	00:21	16:35	03:27
SON 135 SAT ZWI 20°24'09" SKO 05°24'09" T-3	PAL 45 ERI ZWI 07°50'22" WID 22°50'22" A*	SON 60 ERI ZWI 22°50'48" WID 22°50'49" A	NEP 135 VES FIS 05°21'40" KRE 20°21'40" A*	CER 72 KN2 KRE 26°50'52" STI 14°50'51" H* ---	VEN 72 FY9 KRE 15°49'37" JUN 27°49'36" H+2	PLU 150 PAL STE 10°39'04" ZWI 10°39'03" A*	VEN 45 ORC KRE 18°12'36" JUN 03°12'36" A	VEN 72 GSZ KRE 20°15'03" WAA 02°15'04" T-2	SON 30 CER ZWI 28°58'51" KRE 28°58'51" A
11:30	17:35	17:43	10:08	04:59	06:41	15:21	06:58	18:12	05:19
MAR 45 ERI ZWI 07°49'59" WID 22°49'60" H+4	JUP 180 GaZ ZWI 26°56'27" SCH 26°56'26" A*	VEN 144 JUN KRE 12°59'56" WAS 18°59'56" A	VEN 120 CHI KRE 13°49'58" FIS 13°49'58" AK	PAL 45 VAR ZWI 09°20'52" KRE 24°20'52" A*	MAR 144 SAT ZWI 11°12'22" SKO 05°12'22" A	MAR 60 URA ZWI 12°09'32" WID 12°09'31" A	VEN 90 EL6 KRE 18°32'45" WAA 18°32'45" A	VEN 135 NEP KRE 20°19'58" FIS 05°19'59" T-2	VES 90 ERI KRE 22°52'55" WID 22°52'55" T* -5
14:26	22:50	19:24	06:01	14:20	19:34	10:03	18:59	08:39	
MER 120 KN1 KRE 15°02'12" SKO 15°02'10" A	VEN 90 URA KRE 12°02'22" WID 12°02'21" AK	SON 30 SED ZWI 23°53'14" STI 23°53'14" A	VEN 120 KN1 KRE 14°50'34" SKO 14°50'35" A W	JUP 90 FY9 ZWI 27°49'39" JUN 27°49'39" A*	MER 72 GSZ KRE 20°15'04" WAA 02°15'04" Hf +7	SAT 144 PAL SKO 05°08'07" ZWI 11°08'07" A*	CHI 135 CER FIS 13°49'45" KRE 28°49'45" A*	URA 60 PAL WID 12°13'14" ZWI 12°13'13" A*	
19:32	23:46	07:01	23:04	10:45	14:22	17:49	22:37		
SON 144 KN1 ZWI 21°01'31" SKO 15°01'30" A W	MER 45 ORC KRE 18°10'41" JUN 03°10'41" A	SON 30 VAR ZWI 24°20'58" KRE 24°20'59" A	MER 135 NEP KRE 20°20'38" FIS 05°20'39" A K	JUP 30 CER ZWI 28°15'08" KRE 28°15'08" A*	VAR 150 QUA KRE 24°25'25" SCH 24°25'25" T* -11	SON 135 KN1 ZWI 29°33'07" SKO 14°33'08" H+3	NEP 144 CER FIS 05°19'29" KRE 29°19'29" H* W* +5		
22:09	22:38	23:24	11:09	13:20	22:34				
VEN 180 PLU KRE 10°47'05" STE 10°47'06" H+4	SON 72 ORC ZWI 21°08'55" JUN 03°08'55" A	SAT 120 NEP SKO 05°22'08" FIS 05°22'08" H* +7	MER 90 EL6 KRE 18°33'43" WAA 18°33'43" A	MAR 150 PLU ZWI 10°41'57" STE 10°41'57" H+4	VEN 150 JUN KRE 18°58'16" WAS 18°58'17" A	SON 90 FY9 ZWI 27°49'57" JUN 27°49'57" H+3			

Juni 2013



Prognose für SW-Deutschland

Am 22. Vierfachkonjunktion Merkur-Venus-Vesta-Varuna!

Langsamläufer-Impulse		H*	2H*	T*			Hf*	H*	H*, T*	
Schnellläufer-Impulse		H, T	T, Hf		T, H	3T	H	T, Tf		T, H, Hf
Temperaturimpulse	W	W				W		K		W
Premeteo-Index - zyklonal, + antizyklonal (Index 1+2+3)	8	-11	-5	-15	-21	-12	12	9	8	3
Pre.IX (ALTERNATIV)	15						5			
Index 1 (12 - 12 UTC) exakte Aspekte des Tages	8	0	10	0	-3	-1	-2	9	8	-2
Index 1 (ALTERNATIV)										
Symmetrien (0 - 0 UTC)	Ves 1 Ven Var (08) H A* (+7) Ven 1 Ves Mer (22) H A W (+7)	Cer 144 Nep Qua (03) H* W* A* ? +7 Ven 1 Var Mer (08) T A W -7	Ven 0 Ves Var (01) H T -7? Var 0 Ven Ves (10) T A* -7 Son 8op Plu Qua (16) H A +7?	Qua 150 Ves Sed (06) H* A(9) H* --- Var 2 Ven Mer (12) T A -7	Son 7op Plu GaZ (02) H A +7? Qua 150 Var Sed (09) Tst* A(10) T* (0,5,4) -7 Ves 2 Ven Mer (11) H H ---Index(1)	Sat 120 Son Nep (01) A H* A W --- Ven 4 Var Cer (03) T A W -7? Son 120 Sat Nep (13) A A W H* --- Hau 120 Mar Jun (16) A A* T --- Ven 3 Ves Cer (16) H A W --- Mar 120 Jun Hau (20) T A A* -7 GaZ 8op Son Mar (20) A H +7? Jun 120 Mar Hau (23) T A* A (-7)	Nep 120 Son Sat (02) A W H* A +7 Ven 144 Nep Qua (12) H A ? +7/0	Ves 37 Mar Orc (18) Hf ---	Jun 120 Pal Hau (16) A* A* T* -7?	
Index 2 (12 - 12 UTC)	0	0	-7	-7	-7	0	14	0	0	0
Index 2 (ALTERNATIV)	7						7			
ausgelöste LL-Aspekte		Ves 60 Sed (H5) Var 60 Sed T-11	Son 90 GSZ H3 Ves 60 Sed (H5) Var 60 Sed T-11	Son 90 GSZ H3 Ves 60 Sed (H5) Var 60 Sed T-11	Var 60 Sed T-11	Var 60 Sed T-11				Cer 144 GaZ H5
Index 3 (Summe)	0	-11	-8	-8	-11	-11	0	0	0	5
Index 3 (ALTERNATIV)										
Symbol-Prognose	3	5	3	5	5	5	2	3	3	3
Wochentag	Fr	Sa	So	Mo	Di	Mi	Do	Fr	Sa	So
Datum	21	22	23	24	25	26	27	28	29	30
reale Wetterlage	H4: H*, H - T / -3		T5: T*, T - 2H*, Hf / -20		H5: Hf*, H*, H - T, Tf / -4				T6: T* - H* / +8	H6: Hf, H - T / +3
Luftdruck (hpa) 06 UTC	1015,5	1019,1	1015,8	1020,6	1025,8	1028,7	1025,3	1022,3	1019,3	1024,8
mittl. Temp.(°C)	19	19,9	17,8	14,5	13,3	13,9	12,4	14,9	15,9	16,4
Sonnenscheindauer (h)	9,6	11,6	8	1,4	0,5	8,4	1,2	9,6	2,5	5,8
Niederschlag (Liter)	0,0 / 1	07, / 1	3 / 4	3 / 8	1 / 2	/ 1	5 / 4	2	8 / 13	.
Bodenwetterlage 00 UTC (Kernlage des Druckgebiets, das SW-D beeinflusst)	fl H ü SW-F, fl T ü N-D	Azor-H, T w Schottl, fl T ü Ungarn	T ü Schottl	T ü Nsee	Azor-H, T ü O-Eu	Azor-H, T ü N-Polen	H ü O-Atl	H ü O-Atl	T ü S-Skand, H ü O-Atl	H ü O-Atl
Bodenströmung 12 UTC zyklonal (z), antizyklonal (a)	a	a	a	a-z	a	a	a-z	fl a	z	a
Strömung auf 500 hpa 00 UTC	SSW z	SW z	SW a-z	W z	NW z	NNW fl z	NW z	NW z	NNW a-z	NW fl a
zutreffende Wettersymbole	3 r	3 hr	3 r	5 r	5r	3 hr	5 f	3 r	5 hr	3 r

01:06	17:37	01:12	01:10	02:20	08:38	02:39	02:13	02:10	03:15
MAR 150 KN1 ZWI 14°32'09" SKO 14°32'10" A	VES 60 SED KRE 23°58'32" STI 23°58'31" H* ---	VEN 150 QUA KRE 24°20'13" SCH 24°20'12" A	VES 0 VAR KRE 24°32'58" KRE 24°32'58" A	SON 135 JUN KRE 03°42'20" WAS 18°42'21" T-3	SON 72 ERI KRE 04°54'33" WID 22°54'33" H+2	VEN 144 NEP KRE 29°16'13" FIS 05°16'15" H+2	VEN 30 JUP LÖW 00°27'45" KRE 00°27'46" T.K-2	MAR 144 KN1 ZWI 20°06'37" SKO 14°06'37" A	VEN 144 GaZ LÖW 02°56'30" SCH 26°56'29" T-2
02:58	18:04	04:50	04:25	04:38	09:14	09:05	14:42	06:39	06:08
MER 0 VEN VEN 60 SED KRE 21°59'39" KRE 21°59'39" A W	VEN 60 SED KRE 23°58'32" STI 23°58'32" A	CHI 90 PAL FIS 13°48'47" ZWI 13°48'48" H* +5	MER 90 ERI KRE 22°54'01" WID 22°54'01" A	VEN 150 GaZ KRE 26°56'30" SCH 26°56'28" A	SON 120 SAT KRE 04°55'59" SKO 04°55'59" A	CER 30 APO LÖW 02°06'48" KRE 02°06'48" A	GSZ 90 APO WAA 02°15'03" KRE 02°15'03" H* +13	CER 144 GaZ LÖW 02°56'29" SCH 26°56'29" H* +10	CER 30 ORC LÖW 03°22'09" SCH 26°56'29" A
20:38	18:19	05:00	04:35	22:46	17:04	16:40	18:34	12:03	11:47
VEN 90 ERI KRE 22°53'22" WID 22°53'23" A	VEN 0 VES KRE 23°59'18" KRE 23°59'18" H ---	VEN 0 VAR KRE 24°31'46" KRE 24°31'47" T-4	PAL 150 KN1 ZWI 14°22'11" SKO 14°22'10" T ---	VEN 60 FY9 KRE 27°51'34" JUN 27°51'34" H+2	VEN 135 CHI KRE 28°47'08" FIS 13°47'08" T ---	CER 60 GSZ LÖW 02°15'03" WAA 02°15'03" Hf +11	MAR 135 SAT LÖW 02°15'03" ZWI 19°53'31" SKO 04°53'30" TI -10	VES 150 GaZ KRE 26°56'29" SCH 26°56'29" T* -5	VEN 30 ORC LÖW 03°22'23" SCH 26°56'29" A
	21:43	06:38	15:54		17:50	18:30	19:44	13:35	14:51
	SON 0 APO KRE 01°36'53" KRE 01°36'54" T W ---	CER 144 QUA LÖW 00°19'57" SCH 24°19'56" A	SON 60 ORC KRE 03°17'27" JUN 03°17'27" A		SON 120 NEP KRE 05°16'29" FIS 05°16'28" A W	VES 72 KN2 KRE 26°10'48" STI 14°10'48" WID 22°55'06" A	MER 90 ERI KRE 22°55'06" KRE 22°55'06" A	VEN 60 GSZ LÖW 02°15'03" WAA 02°15'02" A	VEN 0 CER LÖW 03°31'41" LÖW 03°31'41" A W
		11:33	16:48		18:41	20:35		15:54	17:02
		JUP 135 KN1 ZWI 29°24'25" SKO 14°24'26" A	VEN 72 KN2 KRE 26°20'33" STI 14°20'33" A		MAR 120 EL6 ZWI 18°30'50" WAA 18°30'49" A	JUN 120 EL6 WAS 18°30'41" WAA 18°30'41" A		VEN 30 APO LÖW 02°22'05" KRE 02°22'04" H K ---	SON 45 SED KRE 09°03'25" STI 24°03'26" H +3
		12:58			21:11	21:53		19:18	22:23
		VES 150 QUA KRE 24°19'38" SCH 24°19'38" H* ---			MAR 120 JUN ZWI 18°35'09" WAS 18°35'08" T -4	VEN 144 QUA LÖW 00°14'36" SCH 24°14'35" A		VEN 45 PAL LÖW 02°32'23" LÖW 17°32'23" A	MAR 72 ORC ZWI 21°22'46" JUN 03°22'45" Hf +10
		13:44							
		SON 90 GSZ KRE 02°15'05" WAA 02°15'03" Hf +9							

02.06.2013
Juni 2013



nachträglich korrigierte Prognose
 für SW-Deutschland

Am 22. Vierfachkonjunktion Merkur-Venus-Vesta-Varuna!

01.06.2013

Langsamläufer-Impulse			T*		H*			3H*	T*		
Schnellläufer-Impulse	H	2T	2T	H		T, H	3T, Tf	H	H, 2Hf		
Temperaturimpulse		K, W		W	K		W, K				
Premeteo-Index - zyklonal, + antizyklonal (Index 1+2+3)	9	-5	-8	2	9	-1	-10	-8	21	-17	
Pre.IX (ALTERNATIV)											
Index 1 (12 - 12 UTC) exakte Aspekte des Tages	2	-7	-6	-5	9	-1	-4	5	20	-13	
Index 1(ALTERNATIV)											
Symmetrien (0 - 0 UTC)	Hau 145 Chi Sed (00) A* H*(7/1) H*(7/2)+7 Ven 4 Jup Mer (19) H W A W +7?	Mak 89 Ven GaZ (01) H T* A -7? Mer 7op Plu GaZ (20) A K T -7?	Sed 31 Jup Eri (00) T* H*(3/0) H*? Nep 120 Sat Mer (13) H A W A (+7) Mer 120 Sat Nep (22) A A W H* (+7)	Sat 120 Nep Mer (07) H* A A W +7	Ven 8op Plu Qua (09) H T -7?	Qua 9op Son Ven (03) A T -7? Ven 7op Plu GaZ (07) H A +7? Plu 6op Ven Ves (21) H A* +7? Mak 166 Ura Chi (22) H*(8/3) ---	Jup 9 Son Ven (01) A W H W +7? Nep 120 Ven Sat (08) T W H* T +7? Ven 120 Sat Nep (14) T T W H* +7? Sat 120 Ven Nep (19) T H* T W -7? Orc 46 Ves Hau (23) A* T* A* -7	Hau 120 Son Jun (00) H A* H* +7? Son 120 Jun Hau (11) Hf A* (+7) Jun 120 Son Hau (23) Hf A* H(+7) Plu 2op Ven Mer (23) H A K +7	Mer 5 Ven Ves (12) A W H +7?		
Index 2 (12 - 12 UTC)	7	0	0	7	0	0	0	-7	7	7	
Index 2 ALTERNATIV											
ausgelöste LL-Aspekte		Ven 90 Mak H2	Ven 135 Kn1 T-2 (Ven 45 Kn2 T-2)					Pal 90 Nep H5 Var 60 Sed T-11	Pal 90 Nep H5 Var 60 Sed T-11	Pal 90 Nep H5 Var 60 Sed T-11	Var 60 Sed T-11
Index 3 (Summe)	0	2	-2	0	0	0	-6	-6	-6	-11	
Index 3 ALTERNATIV											
Symbol-Prognose	3	3	3	3	3	3	5	5	3	5	
Symbol-Prognose altern.	3	3	3	3	3	3	5	5	3	5	
Wochentag	Sa	So	Mo	Di	Mi	Do	Fr	Sa	So	Mo	
Datum	1	2	3	4	5	6	7	8	9	10	
reale Wetterlage	T1: 2T - H / +4		H1: H - T*, 2T / +3				T2: T*, Tf, 4T - 3H*, 2Hf, 3H / -19				
Luftdruck (hpa) 06 UTC	1012,4	1020,9	1024,8	1021,4	1017,7	1018,8	1019,2	1016,3	1011,6	1010,4	
mittl. Temp.(°C)	13,4	14,4	11,3	14,9	17,7	18,8	19,3	20,4	18,8	15,8	
Sonnenscheindauer (h)	.	10,4	0,7	14,1	14,8	14,8	14,6	13,9	9,6	.	
Niederschlag (Liter)	20 / 41	.	0,0	3 / 5	.	0,3 / 2,5	
Bodenwetterlage 00 UTC (Kernlage des Druckgebiets, das SW-D beeinflusst)	T ü Alpen	T ü O-D, H ü O-Atl	H ü GB, T ü Ukrai	H ü GB, T ü GB	H ü N-Skand	fl T ü NW-Iber, okkl T ü Nsee	fl T ü NW-Iber- Biskaya, H-Keil ü GB	fl T ü SW-F u. O-Iber	fl T mit Kernen über Bisk und SW-D	okkl T ü Polen, kl T ü Adria	
Bodenströmung 12 UTC zyklonal (z), antizyklonal (a)	a-z	fl z	fl z	fl a	a-z	fl z	z	z	z	z	
Strömung auf 500 hpa 00 UTC	NO z	N a-z	NNO z	NO fl a	fl a	fl a	fl a	fl a	fl z	fl z	
zutreffende Wettersymbole	5 hr	2-3 r	5 hr	2 hr	2 hr	2 hr	2 f	2 f	3 r	5 r	

Übertrag	VEN 90 FY9	SON 60 URA	JUP 180 QUA	MER 120 SAT	MAR 135 EL6	VEN 135 JUN	VEN 72 ERI	NEP 90 PAL	VES 45 ORC	VES 90 EL6
Index 1 = 0	ZWI 27°50'33"	ZWI 11°42'08"	ZWI 24°43'37"	KRE 05°44'07"	ZWI 03°38'25"	KRE 03°45'21"	KRE 04°48'13"	FIS 05°22'28"	KRE 18°07'29"	KRE 18°35'56"
Index 2 = 0	H +2	WID 11°42'07"	SCH 24°43'37"	SKO 05°44'07"	WAA 18°38'25"	WAS 18°45'20"	WID 22°48'14"	ZWI 05°22'28"	JUN 03°07'29"	WAA 18°35'56"
		A K	A*(10/6)	A	A	A	A	H* +5	A*	A*
	08:41	05:03	09:32	05:27	13:18	06:40	01:36	05:20	06:51	07:48
	SON 150 PLU	SON 144 SAT	MER 72 ERI	SON 90 CHI	CER 90 ERI	MER 45 SED	VEN 30 PAL	MAR 150 SAT	SON 120 EL6	VEN 45 SED
	ZWI 11°01'10"	ZWI 11°49'58"	KRE 04°46'42"	ZWI 13°45'53"	KRE 22°47'37"	KRE 08°47'07"	KRE 04°51'22"	ZWI 05°31'56"	ZWI 18°36'25"	KRE 08°50'05"
	STE 11°01'10"	SKO 05°49'56"	WID 22°46'41"	FIS 13°45'54"	WID 22°47'37"	STI 23°47'08"	ZWI 04°51'22"	SKO 05°31'55"	WAA 18°36'25"	STI 23°50'04"
	A	T-3	A	A W	H* +5	T-1	A	A	H+3	A
	09:54	06:10	11:23	09:46	15:04	18:55	03:16	07:02	14:24	10:50
	MER 30 PAL	MER 60 ORC	VEN 135 KN1	JUN 120 EL6	VEN 60 ORC	VEN 30 MAR	PLU 144 PAL	SAT 150 PAL	SON 120 JUN	MER 120 CHI
	KRE 01°46'25"	KRE 03°04'34"	KRE 00°27'59"	WAS 18°39'05"	KRE 03°05'54"	KRE 04°30'58"	STE 10°53'40"	SKO 05°31'44"	ZWI 18°54'28"	KRE 13°49'05"
	ZWI 01°46'25"	JUN 03°04'36"	SKO 15°27'60"	WAA 18°39'05"	JUN 03°05'52"	ZWI 04°30'58"	ZWI 04°53'39"	ZWI 05°31'44"	WAS 18°54'29"	FIS 13°49'04"
	A	A	T-2	A*	A	H+2	A*	H* +10	H+9	A
	17:17	07:03	14:26	18:47	20:55		07:35	11:18	15:16	
	MER 90 GSZ	PAL 120 GSZ	MAR 120 GSZ	MAR 90 ORC	SON 150 KN1		MAR 144 PLU	SON 30 VES	MER 144 JUN	
	KRE 02°15'08"	ZWI 02°15'07"	ZWI 02°15'06"	ZWI 03°05'31"	ZWI 15°20'22"		ZWI 04°53'25"	ZWI 17°49'39"	KRE 12°54'33"	
	WAA 02°15'07"	WAA 02°15'07"	WAA 02°15'07"	JUN 03°05'32"	SKO 15°20'23"		STE 10°53'25"	KRE 17°49'39"	WAS 18°54'33"	
	A	A*	T-4	H+4	A K		T-4	A	Hf +7	
		13:15	18:21	20:32		11:47	18:48	15:48		
	MER 135 JUN	VES 72 FY9	PAL 135 EL6			VEN 120 NEP	MER 90 URA	APO 135 KN1		
	KRE 03°31'22"	KRE 15°50'05"	ZWI 03°38'49"			KRE 05°22'28"	KRE 11°55'10"	KRE 00°08'21"		
	WAS 18°31'21"	JUN 27°50'04"	WAA 18°38'49"			FIS 05°22'28"	WID 11°55'10"	SKO 15°08'21"		
	A	T* -5	A*			T W	H +1	T* -13		
		13:26	19:19	22:27		15:24	22:38	19:52		
	VEN 0 APO	MER 120 NEP	VEN 90 GSZ			VEN 120 SAT	CER 0 VAR	ORC 72 KN1		
	ZWI 29°20'53"	KRE 05°22'16"	KRE 02°15'08"			KRE 05°33'31"	KRE 24°12'48"	JUN 03°07'49"		
	ZWI 29°20'54"	FIS 05°22'16"	WAA 02°15'07"			SKO 05°33'32"	KRE 24°12'48"	SKO 15°07'49"		
	T W -4	A W	A			T-2	H* ---	A*(8/6)		
		22:56	19:51			22:04		20:24		
	VES 120 KN1	PAL 90 ORC				MER 180 PLU		CER 150 QUA		
	KRE 15°29'39"	ZWI 03°05'10"				KRE 10°52'35"		KRE 24°35'43"		
	SKO 15°29'39"	JUN 03°05'10"				STE 10°52'36"		SCH 24°35'43"		
	A*	A*				A K		A*		
						22:59				
						MAR 0 PAL				
						ZWI 05°20'41"				
						ZWI 05°20'41"				
						A				
						23:23				
						CER 60 SED				
						KRE 23°48'23"				
						STI 23°48'22"				
						A*				
						23:59				
						MAR 90 NEP				
						ZWI 05°22'27"				
						FIS 05°22'28"				
						Tf -10				

Juni 2013



nachträglich korrigierte Prognose
für SW-Deutschland

Am 22. Vierfachkonjunktion Merkur-Venus-Vesta-Varuna!

Langsamläufer-Impulse	H*			H*	H*, T*		H*	Tst*		T*, H*		
Schnellläufer-Impulse	T, 2H	T			2H	H	Hf	H	T	2H		
Temperaturimpulse	W	K		K	W		K		W	W*		
Premeteo-Index - zyklonal, + antizyklonal (Index 1+2+3)	-10	17	0	5	2	2	0	0	-8	-5		
Pre.IX (ALTERNATIV)												
Index 1 (12 - 12 UTC) exakte Aspekte des Tages	1	10	0	5	2	2	0	7	-8	-3		
Index 1(ALTERNATIV)												
Symmetrien (0 - 0 UTC)		Mar 46 Var Eri (12) A H A? +7	Pal 46 Var Eri (20) A* A* A? ?	Ves 6 Ven Cer (22) H HP*(4/1/2) +7?	Son 30 Var Sed (01) A A T? (0,5/4) ---	Var 3 Ves Cer (14) A* H* +7	Orc 45 Ven Hau (17) A T* A-7	Gaz 68 Nep Hau (18) ? * ...	Var 4 Ven Cer (14) T H* +7? Mak 89 Son Gaz (21) H T? A-??	Mak 89 Jup Gaz (13) A* T? A*-7? Ves 1 Var Mer (23) A* H +7		
Index 2 (12 - 12 UTC)	0	7	0	0	0	0	0	-7	0	0		
Index 2 ALTERNATIV												
ausgelöste LL-Aspekte		Var 60 Sed T-11								Ven 72 GSZ T-2		
Index 3 (Summe)	-11	0	0	0	0	0	0	0	0	-2		
Index 3 ALTERNATIV												
Symbol-Prognose	5	2	3	3	3	3	3	5	3	3		
Wochentag	DI	MI	DO	FR	SA	SO	MO	DI	MI	DO		
Datum	11	12	13	14	15	16	17	18	19	20		
reale Wetterlage	H2: H*, 2H - T / +7			T3: --- / 0			H3: 2H*, 3H - T* / +9			T4: T*, T*, T - 2H*, Hf, 3H / -13		
Luftdruck (hpa) 06 UTC	1017,4	1020,4	1019	1023,5	1016	1018,1	1013,2	1014,1	1010,7	1012,4		
mittl. Temp.(°C)	17,6	19,5	20,6	16	18,8	20,5	24,7	26,8	26,9	21,6		
Sonnenscheindauer (h)	9,5	3,9	12,6	8,8	8,2	14,2	14,4	14,4	12,4	7,8		
Niederschlag (Liter)	.	.	9 / 8,5	.	.	.	4 / 1	.	0,0	12 / 13		
Bodenwetterlage 00 UTC (Kernlage des Druckgebiets, das SW-D beeinflusst)	H ü Benel	H ü Alpen u NO-D	T ü GB	H ü W-F	H ü O-D	H ü F	T ü Biskaya	T ü W-F, T ü O- iber, H ü Balkan	T ü GB und W-Mm	fl T ü D, fl T ü Biskaya		
Bodenströmung 12 UTC zyklonal (z), antizyklonal (a)	a	a	fl z	a	a-z	a	z	z	z	a-z		
Strömung auf 500 hpa 00 UTC	a	NW a	SW a	SW fl z	SW a-z	SW a-z	SW fl a	SSW a	S fl a	S a-z		
zutreffende Wettersymbole	3 hr	3 hr	2 hr	3 r	3 r	2 hr	2 hr	2 f	2 hr	3 r		

02:37	09:14	13:56	03:16	00:36	00:50	11:03	00:09	16:13	00:44
VES 150 JUN KRE 18°57'11" WAS 18°57'11" A*	MER 72 FY9 KRE 15°49'24" JUN 27°49'24" T-1	MAR 45 VAR ZWI 09°18'45" KRE 24°18'44" A	VES 72 GSZ KRE 20°15'05" WAA 02°15'05" H* +5	SON 72 URA ZWI 24°05'39" KRE 19°00'16" WAS 19°00'16" A	MER 150 JUN KRE 27°49'45" JUN 27°49'45" H* ---	CER 60 FY9 KRE 27°49'45" JUN 27°49'45" H* ---	SON 180 GAZ ZWI 26°56'28" SCH 26°56'27" A	SON 0 JUP ZWI 28°32'04" ZWI 28°32'03" A W	MAR 90 CHI ZWI 13°49'42" FIS 13°49'42" A
03:54	11:39	17:16	09:23	03:55	01:24	13:12	00:21	16:35	03:27
SON 135 SAT ZWI 20°24'09" SKO 05°24'09" T-3	PAL 45 ERI ZWI 07°50'22" WID 22°50'22" A*	SON 60 ERI ZWI 22°50'48" WID 22°50'49" A	NEP 135 VES FIS 05°21'40" KRE 20°21'40" A*	CER 72 KN2 KRE 26°50'52" STI 14°50'51" H* ---	VEN 72 FY9 KRE 15°49'37" JUN 27°49'36" H+2	PLU 150 PAL STE 10°39'04" ZWI 10°39'03" A*	VEN 45 ORC KRE 18°12'36" JUN 03°12'36" A	VEN 72 GSZ KRE 20°15'03" WAA 02°15'04" T-2	SON 30 CER ZWI 28°58'51" KRE 28°58'51" A
11:30	17:35	17:43	10:08	04:59	06:41	15:21	06:58	18:12	05:19
MAR 45 ERI ZWI 07°49'59" WID 22°49'60" H+4	JUP 180 GAZ ZWI 26°56'27" SCH 26°56'26" A*	VEN 144 JUN KRE 12°59'56" WAS 18°59'56" A	VEN 120 CHI KRE 13°49'58" FIS 13°49'58" AK	PAL 45 VAR ZWI 09°20'52" KRE 24°20'52" A*	MAR 144 SAT ZWI 11°12'22" SKO 05°12'22" A	MAR 60 URA ZWI 12°09'32" WID 12°09'31" A	VEN 90 EL6 KRE 18°32'45" WAA 18°32'45" A	VEN 135 NEP KRE 20°19'58" FIS 05°19'59" A	VES 90 ERI KRE 22°52'55" WID 22°52'55" T*-5
14:26	22:50	19:24	06:01	14:20	19:34	10:03	18:59	08:39	
MER 120 KN1 KRE 15°02'12" SKO 15°02'10" A	VEN 90 URA KRE 12°02'22" WID 12°02'21" AK	SON 30 SED ZWI 23°53'14" STI 23°53'14" A	VEN 120 KN1 KRE 14°50'34" SKO 14°50'35" A W	JUP 90 FY9 ZWI 27°49'39" JUN 27°49'39" A*	MER 72 GSZ KRE 20°15'04" WAA 02°15'04" H* +7	SAT 144 PAL SKO 05°08'07" FIS 11°08'07" A*	CHI 135 CER FIS 13°49'45" KRE 28°49'45" A*	URA 60 PAL WID 12°13'14" ZWI 12°13'13" A*	
19:32	23:46	07:01	23:04	10:45	14:22	10:45	14:22	10:45	
SON 144 KN1 ZWI 21°01'31" SKO 15°01'30" A W	MER 45 ORC KRE 18°10'41" JUN 03°10'41" A	SON 30 VAR ZWI 24°20'58" KRE 24°20'59" A	MER 135 NEP KRE 20°20'38" FIS 05°20'39" A K	JUP 30 CER ZWI 28°15'08" KRE 28°15'08" A*	VEN 150 JUN KRE 18°58'16" WAS 18°58'17" A	VEN 150 JUN KRE 18°58'16" WAS 18°58'17" A	VEN 150 JUN KRE 18°58'16" WAS 18°58'17" A	MAR 45 CER ZWI 14°05'58" KRE 29°05'58" H+4	
22:09	10:27	09:10	14:22	22:34	14:22	22:34	14:22	22:34	
VEN 180 PLU KRE 10°47'05" STE 10°47'06" H+4	CER 150 GAZ KRE 26°56'27" SCH 26°56'27" T*-5	CER 150 GAZ KRE 26°56'27" SCH 26°56'27" T*-5	VAR 150 QUA KRE 24°25'25" SCH 24°25'25" Tst* -11	VEN 150 JUN KRE 18°58'16" WAS 18°58'17" A	VEN 150 JUN KRE 18°58'16" WAS 18°58'17" A	VEN 150 JUN KRE 18°58'16" WAS 18°58'17" A	VEN 150 JUN KRE 18°58'16" WAS 18°58'17" A	SON 135 KN1 ZWI 29°33'07" SKO 14°33'08" H+3	
22:38	10:27	11:09	14:22	22:34	14:22	22:34	14:22	22:34	
SON 72 ORC ZWI 21°08'55" JUN 03°08'55" A	VEN 150 JUN KRE 18°58'16" WAS 18°58'17" A	MER 90 EL6 KRE 18°33'43" WAA 18°33'43" A	VEN 150 JUN KRE 18°58'16" WAS 18°58'17" A	VEN 150 JUN KRE 18°58'16" WAS 18°58'17" A	VEN 150 JUN KRE 18°58'16" WAS 18°58'17" A	VEN 150 JUN KRE 18°58'16" WAS 18°58'17" A	VEN 150 JUN KRE 18°58'16" WAS 18°58'17" A	NEP 144 CER FIS 05°19'29" KRE 29°19'29" H* W* +5	
23:24	10:27	11:09	14:22	22:34	14:22	22:34	14:22	22:34	
SAT 120 NEP SKO 05°22'08" FIS 05°22'08" H* +7	VEN 150 JUN KRE 18°58'16" WAS 18°58'17" A	MER 90 EL6 KRE 18°33'43" WAA 18°33'43" A	VEN 150 JUN KRE 18°58'16" WAS 18°58'17" A	VEN 150 JUN KRE 18°58'16" WAS 18°58'17" A	VEN 150 JUN KRE 18°58'16" WAS 18°58'17" A	VEN 150 JUN KRE 18°58'16" WAS 18°58'17" A	VEN 150 JUN KRE 18°58'16" WAS 18°58'17" A	NEP 144 CER FIS 05°19'29" KRE 29°19'29" H* W* +5	
23:24	10:27	11:09	14:22	22:34	14:22	22:34	14:22	22:34	
SAT 120 NEP SKO 05°22'08" FIS 05°22'08" H* +7	VEN 150 JUN KRE 18°58'16" WAS 18°58'17" A	MER 90 EL6 KRE 18°33'43" WAA 18°33'43" A	VEN 150 JUN KRE 18°58'16" WAS 18°58'17" A	VEN 150 JUN KRE 18°58'16" WAS 18°58'17" A	VEN 150 JUN KRE 18°58'16" WAS 18°58'17" A	VEN 150 JUN KRE 18°58'16" WAS 18°58'17" A	VEN 150 JUN KRE 18°58'16" WAS 18°58'17" A	NEP 144 CER FIS 05°19'29" KRE 29°19'29" H* W* +5	

Juni 2013



nachträglich korrigierte Prognose
für SW-Deutschland

Am 22. Vierfachkonjunktion Merkur-Venus-Vesta-Varunat

Langsamläufer-Impulse		H*	2H*	T*			Hf*	H*	H*, T*	
Schnellläufer-Impulse		H, T	T, Hf		T, H	3T	H	T, Tf		T, H, Hf
Temperaturimpulse	W	W				W		K		W
Premeteo-Index - zyklonal, + antizyklonal (Index 1+2+3)	8	-11	-5	-15	-21	-12	5	9	8	3
Pre.IX (ALTERNATIV)	15						-2			
Index 1 (12 - 12 UTC) exakte Aspekte des Tages	8	0	10	0	-3	-1	-2	9	8	-2
Index 1 (ALTERNATIV)										
Symmetrien (0 - 0 UTC)	Ves 1 Ven Var (08) H A* (+7) Ven 1 Ven Mer (22) H A W (+7)	Cer 144 Nep Qua (03) H* W* A* ? +7 Ven 1 Var Mer (08) T A W -7	Ven 0 Ves Var (01) H T -7? Var 0 Ven Ves (10) T A* -7 Son 8op Plu Qua (16) H A +7?	Qua 150 Ves Sed (06) H* A(9) H* --- Var 2 Ven Mer (12) T A -7	Son 7op Plu GaZ (02) H A +7? Qua 150 Var Sed (09) Tst* A(10) T* (0,54) -7 Ves 2 Ven Mer (11) H H ---Index!	Sat 120 Son Nep (01) A H* A W --- Ven 4 Var Cer (03) T A W -7? Son 120 Sat Nep (13) A A W H* --- Hau 120 Mar Jun (16) A A* T --- Ven 3 Ves Cer (16) H A W --- Mar 120 Jun Hau (20) T A A* -7 GaZ 8op Son Mar (20) A H +7? Jun 120 Mar Hau (23) T A* A (-7)	Nep 120 Son Sat (02) A W H* A +7 Ven 144 Nep Qua (12) H A ? +7/0	Ves 37 Mar Orc (18) Hf ---	Jun 120 Pal Hau (16) A* A* T* -7?	
Index 2 (12 -12 UTC)	0	0	-7	-7	-7	0	7	0	0	0
Index 2 ALTERNATIV	7						0			
ausgelöste LL-Aspekte		Ves 60 Sed (H5) Var 60 Sed T-11	Son 90 GSZ H3 Ves 60 Sed (H5) Var 60 Sed T-11	Son 90 GSZ H3 Ves 60 Sed (H5) Var 60 Sed T-11	Var 60 Sed T-11	Var 60 Sed T-11				Cer 144 GaZ H5
Index 3 (Summe)	0	-11	-8	-8	-11	-11	0	0	0	5
Index 3 ALTERNATIV										
Symbol-Prognose	3	5	3	5	5	5	2	3	3	3
Wochentag	Fr	Sa	So	Mo	Di	Mi	Do	Fr	Sa	So
Datum	21	22	23	24	25	26	27	28	29	30
reale Wetterlage	H4: H*, H - T / -3		T5: T*, T - 2H*, Hf / -20		H5: Hf*, H*, H - T, Tf / -4				T6: T* - H* / +8	H6: Hf, H - T / +3
Luftdruck (hpa) 06 UTC	1015,5	1019,1	1015,8	1020,6	1025,8	1028,7	1025,3	1022,3	1019,3	1024,8
mittl. Temp.(°C)	19	19,9	17,8	14,5	13,3	13,9	12,4	14,9	15,9	16,4
Sonnenscheindauer (h)	9,6	11,6	8	1,4	0,5	8,4	1,2	9,6	2,5	5,8
Niederschlag (Liter)	0,0 / 1	07, / 1	3 / 4	3 / 8	1 / 2	/ 1	5 / 4	2	8 / 13	.
Bodenwetterlage 00 UTC (Kernlage des Druckgebiets, das SW-D beeinflusst)	fl H ü SW-F, fl T ü N-D	Azor-H, T w Schottl, fl T ü Ungarn	T ü Schottl	T ü Nsee	Azor-H, T ü O-Eu	Azor-H, T ü N-Polen	H ü O-Atl	H ü O-Atl	T ü S-Skand, H ü O-Atl	H ü O-Atl
Bodenströmung 12 UTC zyklonal (z), antizyklonal (a)	a	a	a	a-z	a	a	a-z	fl a	z	a
Strömung auf 500 hpa 00 UTC	SSW z	SW z	SW a-z	W z	NW z	NNW fl z	NW z	NW z	NNW a-z	NW fl a
zutreffende Wettersymbole	3 r	3 hr	3 r	5 r	5r	3 hr	5 f	3 r	5 hr	3 r

01:06	17:37	01:12	01:10	02:20	08:38	02:39	02:13	02:10	03:15
MAR 150 KN1 ZWI 14°32'09" SKO 14°32'10" A	VES 60 SED KRE 23°58'32" STI 23°58'31" H* ---	VEN 150 QUA KRE 24°20'13" SCH 24°20'12" A	VES 0 VAR KRE 24°32'58" KRE 24°32'58" A	SON 135 JUN KRE 03°42'20" WAS 18°42'21" T-3	SON 72 ERI KRE 04°54'33" WID 22°54'33" H+2	VEN 144 NEP KRE 29°16'13" FIS 05°16'15" H+2	VEN 30 JUP LÖW 00°27'45" KRE 00°27'46" T.K-2	MAR 144 KN1 ZWI 20°06'37" SKO 14°06'37" A	VEN 144 GaZ LÖW 02°56'30" SCH 26°56'29" T-2
02:58	18:04	04:50	04:25	04:38	09:14	09:05	14:42	06:39	06:08
MER 0 VEN KRE 21°59'39" KRE 21°59'39" A W	VEN 60 SED KRE 23°58'32" STI 23°58'32" A	CHI 90 PAL FIS 13°48'47" ZWI 13°48'48" H* +5	MER 90 ERI KRE 22°54'01" WID 22°54'01" A	VEN 150 GaZ KRE 26°56'30" SCH 26°56'28" A	SON 120 SAT KRE 04°55'59" SKO 04°55'59" A*	CER 30 APO LÖW 02°06'48" KRE 02°06'48" A*	GSZ 90 APO WAA 02°15'03" KRE 02°15'03" H* +13	CER 144 GaZ LÖW 02°56'29" SCH 26°56'29" H* +10	CER 30 ORC LÖW 03°22'09" SCH 26°56'29" A*
20:38	18:19	05:00	04:35	22:46	17:04	16:40	18:34	12:03	11:47
VEN 90 ERI KRE 22°53'22" WID 22°53'23" A	VEN 0 VES KRE 23°59'18" KRE 23°59'18" H ---	VEN 0 VAR KRE 24°31'46" KRE 24°31'47" T-4	PAL 150 KN1 ZWI 14°22'11" SKO 14°22'10" T ---	VEN 60 FY9 KRE 27°51'34" JUN 27°51'34" H+2	VEN 135 CHI KRE 28°47'08" FIS 13°47'08" T ---	CER 60 GSZ LÖW 02°15'03" WAA 02°15'03" Hf +11	MAR 135 SAT LÖW 02°15'03" ZWI 19°53'31" SKO 04°53'30" TI -10	VES 150 GaZ KRE 26°56'29" SCH 26°56'29" T* -5	VEN 30 ORC LÖW 03°22'23" SCH 26°56'29" A
	21:43	06:38	15:54		17:50	18:30	19:44	13:35	14:51
	SON 0 APO KRE 01°36'53" KRE 01°36'54" T W ---	CER 144 QUA LÖW 00°19'57" SCH 24°19'56" A*	SON 60 ORC KRE 03°17'27" JUN 03°17'27" A		SON 120 NEP KRE 05°16'29" FIS 05°16'28" A W	VEN 72 KN2 KRE 26°10'48" STI 14°10'48" A*	MER 90 ERI KRE 22°55'06" LÖW 02°15'03" WAA 02°15'06" A	VEN 60 GSZ LÖW 02°15'03" WAA 02°15'02" A	VEN 0 CER LÖW 03°31'41" LÖW 03°31'41" A W
		11:33	16:48		18:41	20:35		15:54	17:02
		JUP 135 KN1 ZWI 29°24'25" SKO 14°24'26" A*	VEN 72 KN2 KRE 26°20'33" STI 14°20'33" A		MAR 120 EL6 ZWI 18°30'50" WAA 18°30'49" A	JUN 120 EL6 WAS 18°30'41" WAA 18°30'41" A		VEN 30 APO KRE 02°22'04" H K ---	SON 45 SED KRE 09°03'25" STI 24°03'26" H +3
		12:58			21:11	21:53		19:18	22:23
		VES 150 QUA KRE 24°19'38" SCH 24°19'38" H* ---			MAR 120 JUN ZWI 18°35'09" WAS 18°35'08" T -4	VEN 144 QUA LÖW 00°14'36" SCH 24°14'35" A		VEN 45 PAL LÖW 02°32'23" LÖW 02°32'23" A	MAR 72 ORC ZWI 21°22'46" JUN 03°22'45" Hf +10
		13:44							
		SON 90 GSZ KRE 02°15'05" WAA 02°15'03" Hf +9							